

高溫度抽出法に依るフェロ・タングステン中の酸素 定量に及ぼす鐵蒸發の影響

Arch. Eisenhüttenwes. 14 (1941) 381~390

矢島忠和譯

フェロ・タングステンの存在に於ける試験試料の酸素定量

G. Ericson 及び C. Benedicks¹⁾ の實驗結果に依ると、湯溜に含有されるタングステンが 10% 以下のときには、高溫度抽出法による酸素定量の影響は、現れて居らぬと云はれてゐる。タングステン含有量が 10% 以上のときには、これが結果に影響を及ぼさざるや否やを確めるために、純フェロ・タングステン融液に、酸素含有量の知れた試料が投入され、分析された。

本實驗の施行に當つては、G. Teanheiser 及び E. Brauns²⁾ の報告になる裝置が利用されたが、これと異なるところは、石英管冷却用の銅の螺旋管が直接水冷式に換へられた點である。かう云つた變更に依つて、金屬附着物の酸素定量に及ぼす影響に對する感度が、比較的大となることが期待された。

フェロ・タングステンに依る酸素定量の影響に關する研究に當り、先づ實施された實驗に於ては、20g の 80% のフェロ・タングステンが熔解され、排氣せられ。その中に、11g のフェロ・タングステンの試料、それから更に、酸素含有量 0.023% なる重量約 10g 4 個の鋼試料が投入された。本實驗の諸結果は、第 1 表に總括されてゐる。これに依ると、これらの實驗條件下に於ては、試験試料中に含まれた酸素は、極く少量だけ捕捉されたにすぎない。フェロ・タングステン湯溜の排氣及び試験試料の實驗中に、石英管の内部に著しく附着物の形成されるのが観察された。附着物の組成を調べるために、この附着物は、鹽酸中に溶解され、分析された。第 1 表にあげられた組成の示すところに依ると、附着物は主として鐵よりなる。

第 1 表 フェロ・タングステンの湯溜に於ける
試験試料中の酸素の定量

湯溜 : 79.7% W, 18.7% Fe, 1.38% C, 0.34% Mn,
0.08% Si, 0.0% Al 含有フェロ・タングステン 20g.
試験試料 : 0.05% C, Si 痕跡, 0.53% Mn, 0.051% P, 0.056%
S, 0.05% Cu, 0.023% O₂.
實驗溫度 : 1500° *)

供試試料	酸素測定量(%)
フェロ・タングステン	0.0002
1 號 試験試料	0.004
2 號 "	0.000
3 號 "	0.000
4 號 "	0.006

附着物の組成 (HCl に溶解)	Fe	W	Mn	Al	C
	15.86 g	0.03 g	0.30 g	0.0 g	n.b.
實驗後の坩堝殘 渣の組成	n.b.	47.6%	0.10%	0.0%	5.27%

*) 溫度は盡く、光高温計で測定されたが、修正されてゐない

¹⁾ Jernkont. Ann. 150 (1931) S. 549/88; vgl. Stahl u. Eisen 52 (1932) S. 565/66.

Mitt. K. Wilh. Inst. Eisenforschg. 17 (1935) S. 207/11;
Arch. Eisenhüttenw. 9 (1935/36) S. 435/39 (Chem. Aussch.
112).

鐵の著しい蒸發は、坩堝殘渣の分析に依つても、認められるのである。蒸發が起らぬものとせば、裝入物から算出されるタングステン含有量は、33.5% となると思はれるが、分析せられたタングステン含有量は、47.6% であつた。

この結果を裏書するために、第 2 の實驗が實施されたが、本實驗に於ては、30g の前と同じなフェロ・タングステンが熔解排氣され

第 2 表 フェロ・タングステンの湯溜に於ける
試験試料中の酸素の定量

湯溜 : フェロ・タングステン 30g

試験試料 : 0.023% O₂

實驗溫度 : 1500°

供試試料	酸素測定量(%)
1 號 試料	0.011
2 號 "	0.003
3 號 "	0.008

Fe %	O %	W %	Mn %	Al %
90.8	0.73	0.13	4.95	0.0

残餘は空中に於て吸収されし酸素ならん

た後に、0.023% O₂ 含有の 3 個の試験試料が實驗に供された(第 2 表)。この場合に於ても、附着物は、主として鐵より成立つてゐる。タングステン含有量が 0.13% と云ふ低い値を示してゐるのは、飛散した微粒が附着物から分離され得なかつたことに依るのである。この實驗條件下では、タングステンが蒸發することとは到底考へられぬし、事實これは認められ得なかつた。附着物のマンガン含有量が 4.95% と云ふ高量を示してゐるのは、注目に値する。かかるマンガンの高量なることが、酸素の低量の原因たり得ぬことは、タングステンの存在せぬときに同質の試験試料を用ひてなした實驗を見るも明かである。この場合に於ては、3 個の試料を空坩堝中に投入して 0.022, 0.021 及び 0.021% なる酸素測定量が得られたのである。從つて、主に附着物の鐵が、酸素の定量に影響してゐると云ふことが推定されうるわけである。

以上の實驗に於ては、フェロ・タングステンを熔解排氣するに際して既に、附着物が著しく形成される事實が観察された。更に、鐵を少量だけ (3.61%) 含む金屬タングステンを用ひて實驗を行つた

第 3 表 タングステンの存在に於ける試験試料中の
酸素の定量裝入物 : 91.1% W, 3.64% Fe, 0.17% C 含有粉末状タング
ステン 5.02g試験試料 : 0.023% O₂

實驗溫度 : 1500°

供試試料	酸素測定量%
1 號 試験試料	0.022
2 號 "	0.020
3 號 "	0.020

が、これは、試験試料投入以前には附着物は目立つて形成されないから云つた場合に於ても、酸素の減少が認められうるや否やといふことを調べるためにあつた。第3表から推定される通り、本條件下に於ては略々正確な酸素測定量が得られた。附着物の形成或は、非常に僅少なるを以て、附着物の分析は行はれなかつた。最初の試験試料投入後に於ては、融液のタンクステンの含有量は、23%であつた。

高度真空中のフェロ・タンクステン中よりの鐵の蒸發

如何なる條件下に於て、鐵がフェロ・タンクステン中より蒸發するやと云ふ詳細なる資料を得んがため、量を相異にするフェロ・タンクステンが、1450~1500°の溫度で高度真空中加熱され、實驗後に

第4表 高度真空中で加熱されたフェロ・タンクステンの附着物及び坩堝殘滓の組成

加熱溫度：1450~1500°

裝入物の組成	第1實驗		第2實驗		第3實驗		第4實驗	
	30g FeW 30mn 加熱 さる	24 FeW 排氣された 坩堝中に投 入れ110mn 加熱さる	100g FeW 坩堝中に投 入れ110mn 加熱さる	24 FeW 排氣された 30mn 加熱さる	100g FeW 未残滓30 mn 再加 熱	25g 粉 末残滓30 mn 再加 熱	n.b.	2.70
a) 残 洋	W% 79.7	93.0	93.0	91.1	n.b.			
C%	1.38	2.44	2.96	2.65	2.70			
Fe%	18.7	4.36	2.29	6.39	2.80			
Mn%	0.34	0.03	—	—	—			
b) 附 着 物	Fe% 87.1	87.1	94.8	95.2	—			
W%	0.24	0.0	0.0	—	—			
C%	0.47	n.b.	0.01	—	—			

生成せる附着物及び坩堝殘滓が分析された（第4表）。

これに依ると、約1500°の溫度では、フェロ・タンクステン中に含まれる大部分の鐵は蒸發し、殘滓は最高の場合に於ても尙6.39% Feを含むにすぎないが、これは、粉末にして、再加熱せる後には蒸發して2.80%となつてゐる。これ等の實驗に於ては、炭素の吸收率は、約3%以下となつてゐる。附着物は、主に鐵より成る。最初の實驗に際して測定されたタンクステンや炭素は、蒸發に依つて附着物の方に入つて行つたのではない。爾餘の實驗の場合に於てはタンクステンは全然附着物の方には入つて居らぬし、炭素の方は僅かだけ這入つてゐるにすぎないからである。

フェロ・タンクステンが熔け落ちる瞬間に、鐵が蒸發する。このとき同時に、壓力が著しく減少するのが、マクレオド真空計に依つて測定される。鐵は炭素を含まぬ純鐵となつて、蒸發する。

フェロ・タンクステン中からの鐵の蒸發は、驚く程著しい。割合に多量の鐵が容易に蒸發しうる可能性の存する反面、高炭素含有鐵融液中からは、同一の實驗條件下で、僅か100分の1, 2gの鐵が蒸發されるにすぎない。これの實驗例を申すと、100gの排氣高炭素鐵が、1500°で25mn、高度真空中で加熱された。僅少な附着物は、0.054gのFeを含むにすぎなかつた。フェロ・タンクステン中の酸素定量の實施に對しては、附着物の著しい形成は、本法の諸結果に非常に影響するを以て、甚だ重要である。

鐵-タンクステン-炭素合金の組成と鐵の蒸發との關係

フェロ・タンクステンに於ける酸素を正しく定量するために、鐵の烈しい蒸發を防止する方法が見出されなければならなかつた。先づ以て、本現象の原因を突きとめることが試みられた。

フェロ・タンクステンの組成に依つて鐵の蒸發が左右されるかど

うかを試験するために、タンクステンの濃度範囲50~80%内で、タンクステンや鐵や炭素の含有量を相異にする鐵-タンクステン-炭素合金が、同一の實驗條件下に於て、高度真空中で加熱され、真空處理の前後に於て、試料が分析された¹⁾。試料は、フェロ・タンクステンと鐵との配合比を變へて、真空抵抗爐内の黑鉛坩堝中で（第5表の試料第1號～第11號）、條件を同一にして、30~40mmQSの真空（これでは未だ鐵は蒸發しない）を用ひ、約1400°の溫度で熔解調製せられた。試料第12號～第23號は同一の材料を用ひ、高周波爐内で、溫度を1480~1510°にして、27~30mmQSの真空を用ひて、熔解された。熔解時間は、あの場合では、20mnであつた。

試料は、タンクステン含有量の増加（鐵含有量の減少）に伴ひ、炭素含有量が減少する。従つて、タンクステンと炭素との比は、タンクステン含有量の増加と共に、著しく増加してゐる。換言すればタンクステン単位量當りの炭素量は、タンクステンの多い試料に於ては、鐵の多量な試料よりも少いのである。同一の條件下で製造された合金の炭素吸收量の相違は、融液の粘性の相違と關聯を有してゐる。高周波爐中の烈しい浴の渦流に依つて熔解された合金でさへ

第5表 鐵-タンクステン-炭素合金の組成と鐵の蒸發との關係

實驗番號	組 成						鐵の減少	粉末にして真空中にて30mn再加熱後	
	真空處理前			真空處理後				C	Fe
	C	Fe	W	C	Fe	W	%	%	%
1 ¹⁾	2.22	20.4	77.4	3.53	5.42	89.2	74	3.78	2.35
2	2.46	22.1	75.8	4.25	5.20	89.6	76	4.43	1.50
3	2.25	24.1	n.b.	4.34	3.65	n.b.	85	—	—
4	2.34	25.1	n.b.	4.97	3.22	n.b.	87	—	—
5	2.34	25.8	n.b.	4.87	2.36	n.b.	91	—	—
6	3.17	26.8	68.4	5.72	14.0	79.0	48	5.74	14.6
7	3.63	29.0	65.8	5.48	25.0	69.2	14	—	—
8	4.24	34.2	60.0	5.37	34.0	60.2	1	—	—
9	4.39	35.7	59.2	5.30	35.5	57.0	1	—	—
10	3.95	37.8	56.9	5.27	36.0	57.4	5	—	—
11	4.89	42.6	51.4	5.31	42.2	51.1	1	—	—
12 ²⁾	2.59	22.9	—	3.55	15.4	—	33	—	—
13	3.05	24.1	—	5.12	15.0	—	38	—	—
14	3.40	23.9	—	5.91	20.2	—	15	—	—
15	3.40	30.0	—	5.72	28.3	—	6	—	—
16	3.70	30.1	—	6.18	28.9	—	4	—	—
17	3.80	29.2	—	5.79	26.5	—	9	—	—
18	4.03	30.8	—	5.59	31.2	—	0	—	—
19	3.70	34.2	—	5.54	32.2	—	6	—	—
20	3.86	34.4	—	5.56	34.8	—	0	—	—
21	4.23	32.1	—	5.57	29.4	—	8	—	—
22	4.33	35.9	—	5.49	35.4	—	1	—	—
23	3.70	36.7	—	5.54	35.1	—	4	—	—

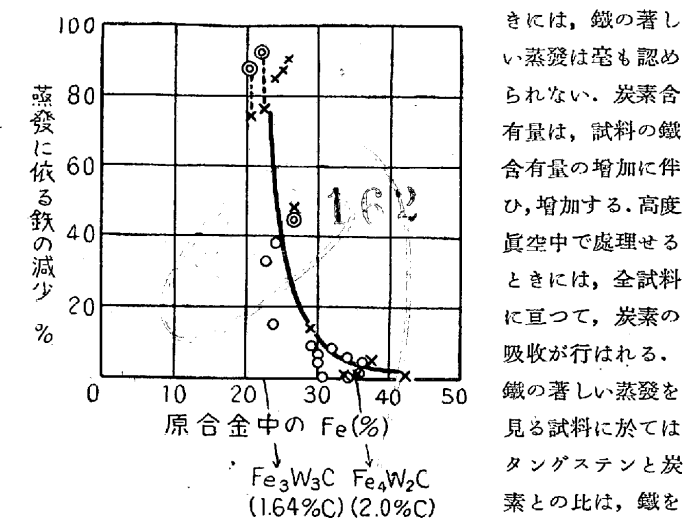
¹⁾ 試料第1號～第11號：30mn 高度真空中で1500~1530°に加熱試料採取量 25g

²⁾ 試料第12號～第23號：30mn 高度真空中で1450°に加熱試料採取量 25g

³⁾ 分析用平均試料は金屬塊から慎重に黒鉛を除いて、これが完全に粉末にされるやうに、採取された。一部に於ては、密度の差が最も大きな成分の混合物が取扱はれてゐるから、分析試料採取以前に、粉末を良く混和することに特に留意しなければならない。

(第12号～第23号), 再度同一条件下で取扱つたときでも尙著しい炭素量を吸收してゐる。粉末にしたフェロ・タンゲステンと煤状炭素とを良く混和して、加熱すると、炭素の吸收は、比較的急速に行はれる。

高度真空中で處理するときには、鐵の蒸發は、鐵含有量の増加或はタンゲステン含有量の減少に伴ひ、減ずると云ふことが、第5表及び第1図から推定がつくのである。鐵含有量が約30%以上のときには、鐵の著しい蒸發は毫も認められない。炭素含有量は、試料の鐵含有量の増加に伴ひ、増加する。高度真空中で處理せるときには、全試料に亘つて、炭素の吸收が行はれる。



第1図 鐵-タンゲステン-炭素合金の組成と鐵の蒸發との関係

の減少と原合金の鐵含有量との関係が示されてゐる。これで見ると狭いFeの濃度範囲約22~30%のうちに於ては、鐵の減少が急速に増加せる事實が認められるわけである。

真空處理後残留せる殘滓の若干のものを、粉末にしてのち、高度真空中で再度加熱して見た。實驗第6號の殘滓は(第5表比較)、良好に熔解し、この際殆んど組成に變化を見せなかつたが、實驗第1號及び第2號の殘滓は、再度少量の鐵を蒸發した。然し、これ等は、最早熔解するに至らず、むしろ焼結するにすぎなかつた。

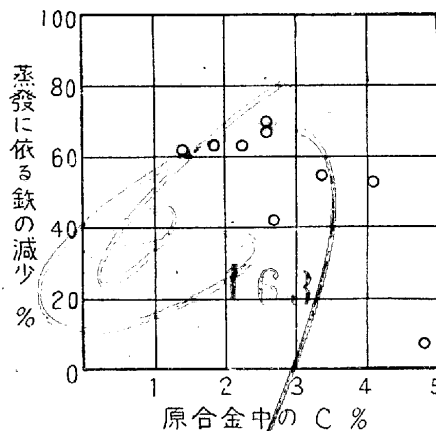
實驗合金の炭素含有量が鐵の蒸發に如何なる影響を及ぼすかと云ふことを試験するために、從來の實験に依つて鐵の蒸發著しい濃度範囲で、鐵とタンゲステンを略々一定量にし、炭素含有量を異にせる試料が、調製された。フェロ・タンゲステンと煤と良く混和されたのち、燒結クランダム坩堝内で、溫度を約1400°にして、70mm

第6表 鐵-タンゲステン-炭素合金の炭素含有量

と鐵の蒸發との関係

實驗番號	組成				鐵の減少
	真空處理前		真空處理後		
	C%	Fe%	C%	Fe%	
1	1.39	18.7	3.06	7.18	62
2	1.81	18.2	3.36	6.82	63
3	2.24	19.8	3.54	7.30	63
4	2.68	16.7	3.52	9.66	42
5	2.57	19.2	3.58	6.28	67
6	2.59	19.3	4.40	5.86	70
7	3.36	18.9	4.40	8.28	56
8	4.07	18.1	6.00	8.60	53
9	4.79	22.3	5.65	20.6	7.6

QS以下の真空中に依つて、合金の熔解が行はれた。これ等試料のうち、25g宛が、粉末にされたのち、20mn、高度真空中用ひ黒鉛坩堝中で、1550~1580°の溫度で加熱された。これら實験の諸結果は



第2図 鐵-タンゲステン-炭素合金の炭素含有量と鐵の蒸發との関係

第6表及び第2図に示されてゐるが、これらは、炭素含有量が比較的多量なるときは、鐵の蒸發は比較的少ないと云ふ事實を表してゐる。

實驗條件と鐵の蒸發との關係

更に實験で、
1. 加熱溫度
2. 加熱時間

3. 壓力

以上の三つが、本條件下に於ける鐵-タンゲステン-炭素合金からの鐵の蒸發に及ぼす影響を、解明することになつた。溫度の影響は、第7表に總括されてゐる實験結果より知られる。本實験に於ては、

第7表 鐵の蒸發に及ぼす溫度の影響

試料採取量 25g, 30mn 加熱

試料第2號 第5表	實驗溫度		
	1380~1390°	1500~1530°	1600~1680°
Fe % 22.1	9.66	5.20	2.78
C % 2.46	4.21	4.25	4.77

試料第2號(第5表)が、溫度以外は同一の實験條件の下で、約1400、1500及び1600°に加熱された。鐵の蒸發は、見込通り、溫度の増加に伴ひ、増加した。

此の様なフェロ・タンゲステンを1500°の溫度に加熱するときには、鐵の蒸發は、加熱時間に伴ひ、増加した(第8表)。既に10mn

第8表 加熱時間と鐵の蒸發との關係

試料採取量 25g, 溫度 1500°

試料	下記加熱時間後の組成				
	10mn	20mn	27mn	30mn	110mn
W%	79.7	90.7	90.0	93.0	93.0
Fe%	18.7	7.76	6.02	5.32	4.36
C%	1.38	1.93	2.77	3.00	2.44
鐵の減少%	59	68	72	77	88

後には、半分以上の鐵が蒸發した。如何なる場合に於ても、割合に烈しい加炭が生じたが、然し炭素含有量は、加熱時間に伴つて、均一には増加しなかつた。この場合、留意るべきことは、五つの實験は、全く別々に分離されて實施されたと云ふことである。實験條件に於ける少しの變化が、加炭率に影響する。

鐵の蒸發が、1500°で、約2~4mmの壓力の下で、行はれるや否やを確めるため、これまで使用されたフェロ・タンゲステンが、1hに亘り、本條件下で加熱された。この際、鐵含有量18.7%と云ふ數には變化なく(即ち、實験後には、18.9%となつてゐる)、炭素含有量が、1.38%から、3.36%に増加してゐる。従つて、多量の鐵を蒸發せしめるには、比較的低壓が必要である。

今迄の實験から判明したところを總括すれば、炭素の存在に於て

高度真空中で、フェロ・タングステンを熔解するときには、鐵の蒸発は著しいが、これは、同一實驗條件下に普通の鐵-炭素融液の鐵蒸發の殆んど認め得られぬものとは、到底比較できぬ程多いと云ふことである。殊に、鐵含有量約30%以下にして、割合にタングステンの多い試料に於て、蒸發が觀察された。しかのみならず、これらの融液は、鐵の多い融液と比べて、炭素が割合に少いことを特徴としてゐる。蒸發は、低壓に於て始めて行はれ、溫度の上昇に伴つて増加し、割合に急速な進行を見せるのである。

真空處理前後に於ける試料のX線に依る研究

試料の化學組成を調べることに依つては、もはやこれ以上、本現象の原因の解明は、期待できぬこととなつた。むしろ、鐵-タングステン-炭素三元合金中に現れる相が、黒鉛坩堝で真空處理後、如何なる變化を見せるかと云ふことを調べる必要があつた。この目的を以て、真空中で加熱前後に於ける凝固融液のX線的研究が實施された。

研究に必要なデバイ・シェーラー寫眞が、直徑57.2mmの暗箱を使つて、撮影された。一部は、フィルターを用ひぬFe-K線が利用され、一部は、ニケル・フィルターを用ひて、Cu-K線が利用された。格子常數を比較的正確に調べるために、比較物質として、タングステンに依る寫眞が撮影されたが、この場合、タングステンの格子常數は、比較物質たる金に依る反射寫眞に依つて知られて居た。後者の方の寫眞は、F. Wever及びO. Lohrmann¹⁾の報告に依るR及びρに關する補正計算法に依つて、測定された。

武田博士²⁾の磁氣的及び顯微鏡的研究からは、「鐵-タングステン-炭素合金中に次の相が現はれると云ふことが判る。

1. Fe₃W₂C, A. Westgren及びG. Phragmén³⁾に依つて詳細にX線研究された炭素1.6%の鐵-タングステン複炭化物。
2. WC, 炭素6.12%含有する高炭素タングステン炭化物。
3. 鐵及びタングステンを溶解して含有せるFe₃C相。
4. α鐵及び遊離炭素。

鐵-タングステン-炭素合金中にFe₃W₂C及びWCが生ずるのが、X線に依つて確證され得た。しかのみならず、各種の試料中にW₂Cが確證された。

X線フィルム上に見らる比較的薄い一部の線が、Fe₃C相に屬するや否やは、本線は本研究の結果に重要ならざるを以て、確定される筋合でない。

第9表は、真空處理以前に試料第6號の粉末寫眞上に（第5表比較）現れる干渉線の一部を表示せるものであるが、これにはCuのK線に依るsin²θ値の測定されたものと計算されたものとが記載されてゐる。これは、殆んどかぶりが無いために測定に好都合なフィ

¹⁾ Mitt. K. Wilh. Inst. Eisenforschg. 14, (1932) S. 137/50
vgl. Stahl u. Eisen 52, (1932) S. 1076/77.

²⁾ Technol. Rep. Tōhoku Univ. 9, (1930) S. 48/514.

³⁾ Jernkont. Ann. 11 (1927) S. 535/45; Trans. Amer. Soc. Steel Treat. 13, (1923) S. 539/54; vol. Stahl u. Eisen 49, (1929) S. 332. Westgren, A.: Jernkont. Ann. 17, (1933) S. 1/14

ルムの範圍からだされたθ値僅少なる線である。Fe₃W₂C, W₂C及びWCに屬すべき線に限つて、インデケーションが行はれる。第4欄に記載され居るsin²θの計算値は、比較寫眞に依つて明かにされた格子常數を使って、計算されたもので、この格子常數は、第10表

第9表 デバイ・シェーラー寫眞上に現れる干渉線一覽

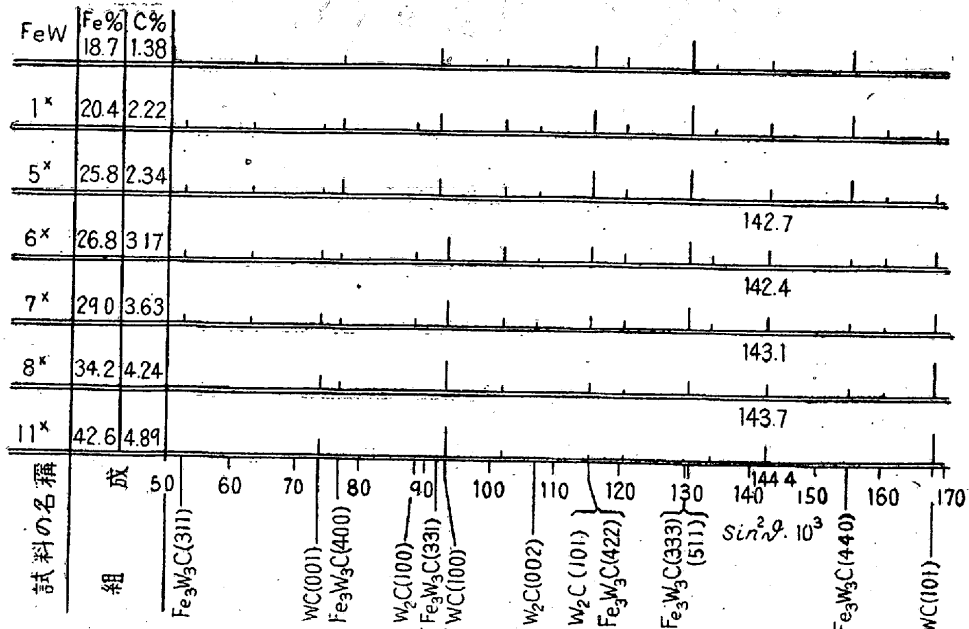
Lfn²θ 値の測定は、Niフィルターを用ひたCu-K線によつて行はれた。

（真空處理以前に於ける第5表の試料第6號の寫眞に依る測定）

成 分	(hkl) _a	sin ² θ · 10 ³	
		測定値	計算値
Fe ₃ W ₂ C ?	(220)	38.4	38.6
Fe ₃ W ₂ C ?	(311)	52.4	53.1
WC	(001)	62.8	—
Fe ₃ W ₂ C	(400)	74.0	74.0
W ₂ C	(100)	77.0	77.0
Fe ₃ W ₂ C	(331)	88.6	88.8
WC	(100)	91.5	94.0
W ₂ C	(002)	102.3	—
W ₂ C	(101)	107.0	107.0
Fe ₃ W ₂ C	(422)	115.7	115.5
Fe ₃ W ₂ C	(333), (511)	120.6	—
Fe ₃ W ₂ C	(440)	130.5	130.0
WC	(101)	133.2	—
WC	(101)	142.4	—
Fe ₃ W ₂ C	(440)	155.0	154.7
WC	(101)	160.5	—
WC	(101)	168.0	168.0

第10表 タングステン炭化物の格子常數

炭化物	格子常數A	Westgren及びPhragménの測定になる格子常數 ⁴⁾		K. Bec'erの測定になる格子常數 ⁵⁾
		より生成	より生成	
Fe ₃ W ₂ C	a _{kub} =11.08	11.08		
W ₂ C	a=2.986±0.002 c=4.708±0.002	a=2.986 c=4.712	a=2.99 c=4.72	
WC, FeW	a=2.900±0.002 より生成	a=2.898 c=2.830±0.002	a=2.898 c=2.828	
WC, W+C		a=2.901	a=2.94	
		c=2.830	c=2.86	



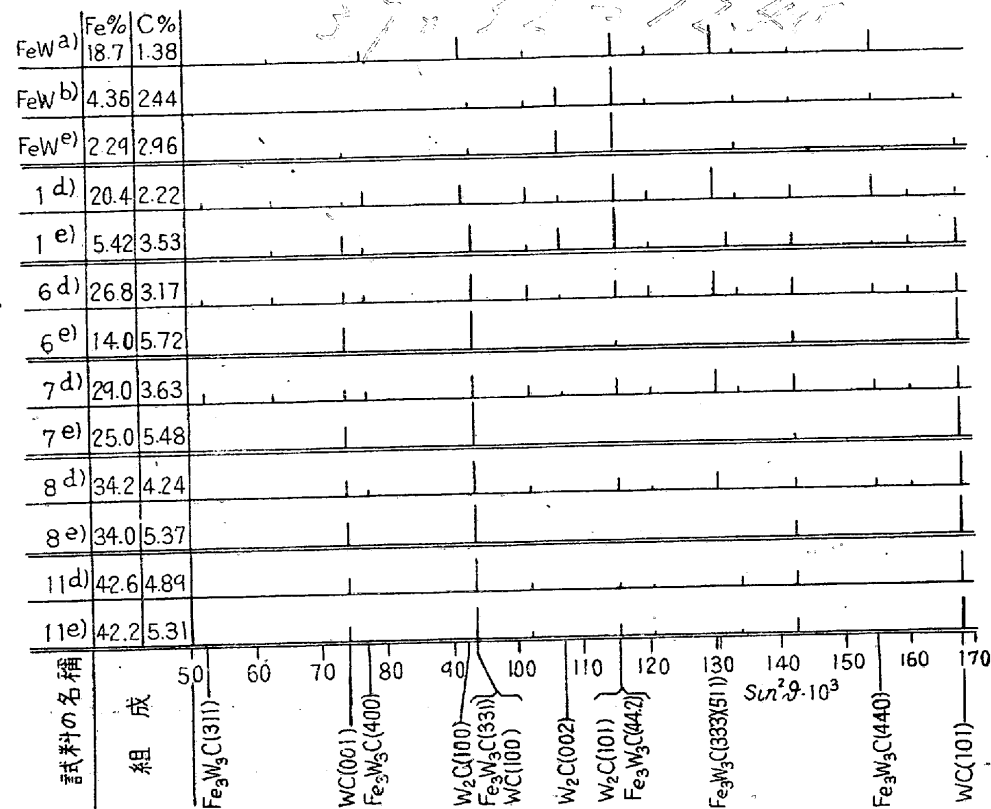
第3圖 真空處理以前の鐵-タングステン-炭素合金のX線寫眞上のデバイ・シェーラー線の強度 × 第5表参照

に記載され居るもので、A. Westgren 及び G. Phragmén⁹⁾、並びに K. Becker⁸⁾に依つて測定された値と良く一致してゐる。

X線寫眞は、第5表に第1號、第5號、第6號、第7號、第8號及び第11號と命名されて居る試料、使用されたフェロ・タングステン及び真空處理後に殘留せる殘滓に依つて、撮影された。寫眞は盡く、試料第6號のそれと同一な線を含み、その強度だけが、各試料に依つて、非常な相違を見せてゐる。武田博士に依つて鐵-タングステン-炭素合金中に顯微鏡的に觀察された炭化物 Fe_3W_2C 及び WC の他に、若干のフィルム上には、WCの線が確認され得た。これらフィルム上に現れる干渉線とそれの強度の概念が、第3圖から良く判るのであるが、本圖の横座標上には、線の測定された $\sin^2\theta/10^3$ 値及びそれに附隨する指數が記載され、垂直線の高さは、線の査定された基準をなしてゐる。

⁹⁾ Z. anorg. allg. Chem. 156, (1926) S. 27/36.

⁸⁾ Z. Phys. 51, (1928) S. 481/89.



a) 第4表(裝入物) b) 第4表、第1實驗 c) 第4表、第2實驗(d)、第5表、真空處理前の實驗 e) 第5表、真空處理後の實驗^(以上参照)

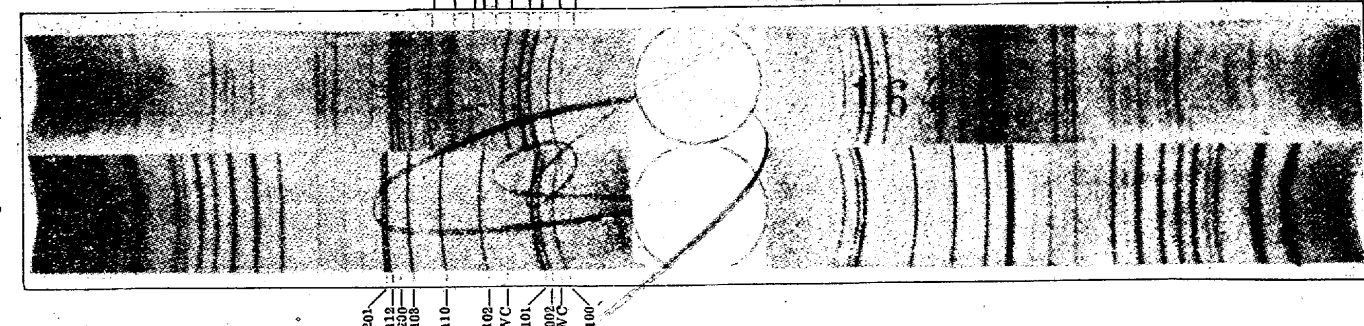
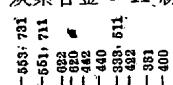
第4圖 真空處理前後の鐵-タングステン-炭素合金のX線寫眞上のデバイ・シエラー線の強度

タングステンの多いフェロ・タングステンに於ては、 Fe_3W_2C 線が著しく優勢である。組成が、タングステンが減じて、鐵が増し、炭素が增加する方に移行するに従つて、この線の強度は減ずる。指數(400), (333)~(511) 及び (440) を参照され度い。また WC 線が現れてゐるが、これの強度は、 Fe_3W_2C 線の強度が減ると同程度の増加を見せ、終にタングステンの少い、炭素の最も多い合金に於ては(第11號)、 Fe_3W_2C 線は完全に消失し、WC線のみが認めらるゝに至る。

鐵-タングステン-炭素合金のこの X線寫眞に對照するに、殘滓から真空處理後に得られた寫眞を以てすると、第4圖に見られる圖が得られる。本圖中には、二つの寫眞、即ち真空處理前の試料寫眞と真空處理後のそれとが、總括されてゐる。例へば、試料第1號の寫眞の線を比較に供すると、真空處理後には、 Fe_3W_2C 線は殆んど消失し、この代りに WC 線及びこれより更に强度に WC 線が現れることが分る。この場合、鐵の 74% は、真空中にて蒸發した。

(第5表比較)、實驗第6號の試料及び殘滓にあつては、真空處理後、 Fe_3W_2C 線は、完全に消失し、WC線が著しく強化された。本實驗に際しては、鐵の 48% は、真空中にて蒸發した。實驗第7號に於ても、同じ状態が生じる。實驗第8號に於ては、 Fe_3W_2C 線は、試料の寫眞上に、WC線の強くてゐる傍に、極く弱く認められるにすぎないし、この試料中からは、鐵は最早蒸發しない。真空處理に依つて、炭素の吸收のみが現れ、殘滓の X線寫眞は、最早全然複炭化物線を示さないが、WC線は、幾分強化されてゐる。

試料第11號の寫眞上には、 Fe_3W_2C 線は、全然見られない。本試料に於ては、真空中の炭素坩堝中で加熱することに依つて、精々 WC 線が僅かに強化されるにすぎず、鐵の蒸發は行はれない。第4表の第1實驗及び第2實驗の X線寫眞は、最も豊富な解明をあたへてゐる。この實驗に利用されたフェロ・タングステンの寫眞は、目立つて Fe_3W_2C 線を示してゐる。真空處理に依つて、烈しい鐵の減少が現れ(同時に炭

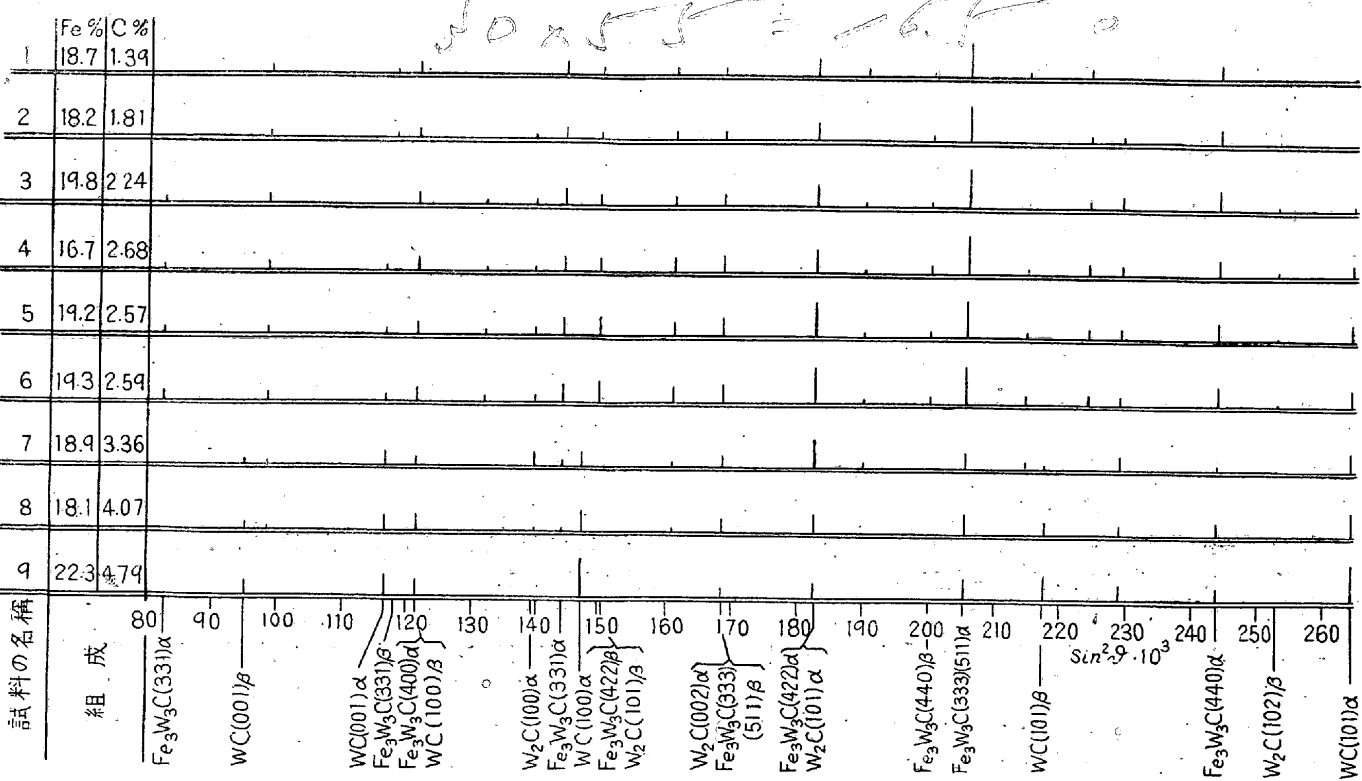


第5圖 原合金及び真空加熱後に得られた殘滓のデバイ・シエラー寫眞(第4表、第2實驗参照) (a=フェロ・タングステン b=殘滓)

素の吸收が現れる)。残滓は、4.36% 及び 2.29% だけの鐵を含むにすぎない。残滓の寫真上には、 $\text{Fe}_3\text{W}_2\text{C}$ 線は、全然認められないが、この代り、 W_2C 線が特に著しく現れ、その傍に尚ほ若干の弱い WC 線が現れる。これは又、真空處理後の残滓及び原合金のデ

第 11 表 デバイ・シェーラー寫真上に現れる干渉線一覽
 $\sin^2\theta \times 10^3$ 値の測定は、Fe 線に依つて行はれた

成 分	hKl	α 反射又 は β 反射	$\sin^2\theta \times 10^3$	
			測定値	計算値
$\text{Fe}_3\text{W}_2\text{C}?$	(220)	α	60.4	60.8
$\text{Fe}_3\text{W}_2\text{C}?$	(311)	α	82.5	83.6
WC	(001)	β	95.2	96.0
			98.8	—
$\text{Fe}_3\text{W}_2\text{C}$	(400)	β	100.5	100.3
WC	(001)	α	116.5	116.5
$\text{Fe}_3\text{W}_2\text{C}$	(331)	β	118.0	119.1
$\text{Fe}_3\text{W}_2\text{C}$	(400)	α	—	121.6
WC	(100)	β	121.4	121.9
W_2C	(100)	α	132.1	—
$\text{Fe}_3\text{W}_2\text{C}$	(331)	α	144.0	144.5
WC	(100)	α	147.4	147.9
W_2C	(101)	β	149.6	149.7
$\text{Fe}_3\text{W}_2\text{C}$	(422)	β	161.0	150.3
W_2C	(002)	α	168.6	168.4
$\text{Fe}_3\text{W}_2\text{C}$	(333), (511)	β	—	169.2
W_2C	(101)	α	173.3	—
$\text{Fe}_3\text{W}_2\text{C}$	(422)	α	182.3	181.7
			—	182.4
$\text{Fe}_3\text{W}_2\text{C}$	(440)	β	189.7	—
$\text{Fe}_3\text{W}_2\text{C}$	(333), (511)	α	200	200.6
WC	(101)	β	205.5	205.2
			209.7	—
WC	(101)	β	217.6	218.0
$\text{Fe}_3\text{W}_2\text{C}$	(440)	α	221	—
WC	(101)	α	227	—
			244.1	243.2
			252.8	—
			264.5	—



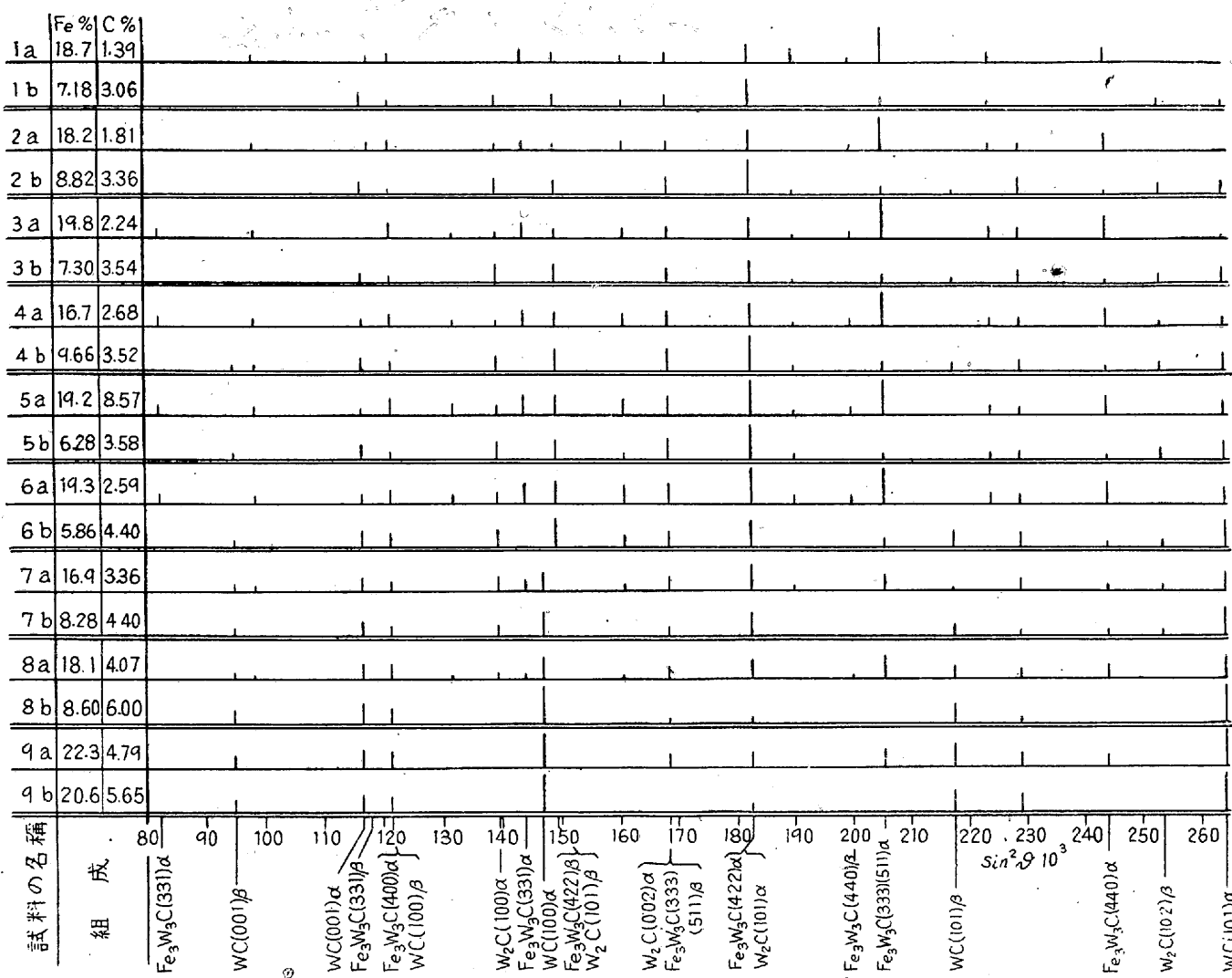
第 6 図 鐵-タンクステン-炭素合金のX線寫真上のデバイ・シェラー線の強度(第 6 表参照)

バイ・シェーラー寫真となつて、第 5 圖に表されてゐるが本圖に於ては、 $\text{Fe}_3\text{W}_2\text{C}$ 線或は W_2C 線の指數が記入されてゐる。本實驗に於ては、存在する鐵の約 90% が蒸發し、その際、炭素含有量は、約 3% (W_2C は 3.16%C を含有) に増加した。X 線に依る研究の結果を見ると、同時に、試料に於て、 $\text{Fe}_3\text{W}_2\text{C}$ が W_2C に變るのが分る。 $\text{Fe}_3\text{W}_2\text{C}$ の W_2C への變化は、鐵蒸發に際しての第 1 次標準作用であるやうに思はれる。更にこの範囲を超えて、第 2 次反應に於て、 W_2C の WC に對する一部若くは全面加炭が行はるゝときには、この變化は鐵の蒸發に對しては、最早役割を果さざることとなる。

かう云つた觀察は、更に X 線寫真に就て行はれ得たが、この X 線寫真は、第 6 表に記載の鐵蒸發前後の鐵-タンクステン-炭素合金に依つて撮影された。合金の炭素含有量の増加が、2.6% 以下のときには、實際上、 $\text{Fe}_3\text{W}_2\text{C}$ 線の強度は全然變化を見せない(第 11 表及び第 6 圖参照) WC 線 (101) は、2.24% C 含有合金の寫真上に、始めて明瞭に認められるやうになり、それからのち、合金の炭素含有量の増加に伴つて、愈々強化される。最高炭素合金は、主に WC 線を示し、弱い $\text{Fe}_3\text{W}_2\text{C}$ 線だけを示すが、蒸發に依つてなほ幾分かの鐵を消失する。真空處理後に殘留する残滓の寫真には(第 7 圖)、これに於ても、 $\text{Fe}_3\text{W}_2\text{C}$ 線は消失若くは著しく弱化するが、その代り W_2C 及び WC 線が現れ、この際に、WC 線の強度は炭素含有量の高さに伴つて増加することが認められる。

鐵蒸發の原因

これらのX線研究による結果に依れば、鐵蒸發の原因及び作用に關しては、次の如く想像せられる。主に $\text{Fe}_3\text{W}_2\text{C}$ より成るフェロ・タンクステンが黒鉛坩堝中の高度真空中で熔解されると、これは黒鉛坩堝の壁から炭素を吸収し、 $\text{Fe}_3\text{W}_2\text{C}$ は、炭素の侵入に依つて、 W_2C に變ずる。この際に現れる鐵は、蒸氣壓が割合に高い結果として高度真空中で蒸發するが、この事實は、鐵がその粘性融液中に



a = 真空處理前の試料 b = 真空處理後の試料

第7圖 真空處理前後の鐵-炭素-タングステン合金のデバイ・シェーラー寫眞上の線の強度 (第6表参照)

徐々に擴散する炭素に依つて飽和されるに伴つて、普通の鐵-炭素融液の鐵の如く、真空内で蒸發し難くなる以前に、行はれるのである。0.015% C 含有の 10g のカルボニール鐵が、酸化ベリウム坩堝中で 10 mn, 1410~1420° に加熱された實驗に於ては、炭素を含まぬ純鐵は、周知の實驗條件下にあつて、著しく蒸發しうる事實が示されてゐる⁸⁾。マクレオド真空計で測定された真空度は、10⁻⁴mmQS 以下で、鐵の蒸發量は、1.90 g であつた。鐵の蒸發は、實驗條件を顧慮すると、炭素含有融液の場合よりずつと多量である。Fe₃W₃C の加炭の際に生ずる W₂C は、多少とも、融液の粘性の程度に應じて急速に加炭されて、WC になる。從つて、比較的急速に加炭の行はれるのは、特に鐵の多い流動性良き融液に見られるところである。W₂C のかう云つた加炭は、鐵蒸發の作用には、最早影響を及ぼさない。専ら鐵蒸發の基準となるものは、

1. W₂C 及び鐵に於ける炭素吸收下の鐵-タングステン複炭化物の分解。
2. 過剰炭素が飽和鐵に急速に加はつて擴散するのを防止する融液の粘性。

フェロ・タングステンを黑鉛坩堝中で大氣壓の下に熔解すると、真空中と同じ事實が起るものと云へなければならぬだらう。Fe₃W₃

⁸⁾ Vgl. C Kroll, W.: Z. Elektrochem. 40, (1934) S. 303/06

C は、先づ以て加炭され、W₂C 及び鐵に分解する。鐵は、大氣壓では、蒸發し得ないで、炭素坩堝中の普通熔鋼のときと同じく、炭素に依つて結合され、ために高度真空に於ける蒸發し易い性質を失ふのである。W₂C は、鐵の多い流動性良き融液に於ては、急速に加炭されて、WC になり、のち X 線で尚ほ辛くも認められるにすぎなくなる(第3圖参照)。かう云つた加炭は、タングステンの多い粘りある融液に於ては、徐々に行はれ、かゝる合金のX線寫眞上には、W₂C 線が比較的明瞭に認められるのである(第6圖参照)。鐵-タングステン-炭素合金では、大氣壓に於て、鐵が最早 Fe₃W₃C 状で存在せざる程度に多量加炭されると、高度真空内では、鐵は最早蒸發し得ない。

フェロ・タングステンからの鐵蒸發の原因に關するから云つた考へが正しいものとすると、この考へは、次の實驗に依つて裏付けされるを要しやう。

1. 炭素が吸收されるときに限り、鐵は、鐵-タングステン-炭素融液中から、蒸發することを得。炭素を含まぬ坩堝に於ては、蒸發は行はれることとなる。

この事實の眞偽を確めるために、高度真空黑鉛坩堝加熱のときに著しく鐵の蒸發を示したことのあつたタングステン-炭素-鐵合金が酸化ベリウム坩堝内で加熱された、第12表に纏められ居る實驗

結果を見れば分る通り、この際には鐵の蒸發は現れて居らぬ。酸化ベリリウム坩堝中に

第 12 表 黒鉛坩堝及び酸化ベリリウム坩堝中に於けるフェロ・タングステン加熱に際しての鐵の蒸發

装入物	黒鉛坩堝中で	BeO 坩堝中で
試料第5號	30mn 1500~1530°に	10mn 1530~
第5表	加熱第5表の結果参照	1540°に加熱
Fe %	25.8	2.36
C %	2.34	4.87
		25.0
		2.22

リウム坩堝で加熱したのちに残留する残滓は、原合金と同じX線写真を示す。この事實から結論されることは、 Fe_3W_6C は、今の實験條件に於ては、安定であるが、十分炭素を吸收すると始めて、不安定になると云ふことである。不安定になると、 Fe_3W_6C は、 W_6C 及び遊離鐵に分解する(A. Hultgren の安定及び不安定複炭化物¹⁰⁾参照)。

2. 粉末状のフェロ・タングステンが、過剰炭素と良く混合されて、徐々に高温に加熱されると、鐵の蒸發は減ぜられる。

Fe_3W_6C の加炭に依つて遊離せる鐵は、これに依つて一層良好に炭素により飽和され得。

高度真空内急速加熱のときに、著しい鐵の蒸發を示せる 25g の試料は、良く粉末にされ、4% の煤と良く混合され、徐々に 1500° 以上に加熱され、この溫度で、3mn 保れた。この場合、25.1% の鐵含有量は、21.4% に減じたにすぎないが、炭素を混和せず急速加熱

第 13 表 鐵の蒸發に及ぼす加熱速度及び炭素分布の影響

装入物	黒鉛坩堝中にて急速加熱 第5表の結果参照	黒鉛坩堝中にて 4% の煤と混合して、徐加熱
Fe %	25.1	3.22
C %	2.34	4.97
		21.4
		5.74

を行ふと、3.22% に減じたことが、第 13 表に示されて居る。

従つて、フェロ・タングステンを煤と良く混和することに依つて鐵の蒸發は、ずつと著しく抑制されるわけである。黒鉛坩堝中にて加熱するときには、炭素の吸收は、著しく僅少であり、然かのみならずこれは坩堝の壁に於て局部的に行はれるにすぎない。高周波爐で熔解するときには、浴は十分混和されるが、このときですらも、炭

第 14 表 鐵-タングステン-炭素合金を抵抗爐及び高周波爐中で加熱する際の鐵の蒸發の比較

装入物	抵抗爐中で 10 ⁻⁴ mm 以下の壓で 30mn 25g 試料を 1520~1530°に加熱 第5表	高周波爐中で約 10 ⁻³ mm の壓で 30mn 50g 試料を 1540°に加熱
Fe %	24.1	3.65
C %	2.25	4.34
		9.33
		3.71

素の吸收は、鐵の蒸發が阻止される程に、促進されはしない。これは第 14 表に示された實驗結果を見れば分る。

フェロ・タングステン中に存在する鐵・タンゲステン複炭化物の化學組成

A. Westgren 及び G. Phragmén¹⁰⁾は、高速度鋼の鐵・タングステン複炭化物に關する詳細なX線研究に依つて、本炭化物には或る均一範囲を有する固溶態(金屬間化合物)が眼目となり、これの化學組成は、近似式 Fe_4W_2U (立方格子常數 $a=11.04 \text{ \AA.E.}$)と Fe_3W_6C ($a=11.08 \text{ \AA.E.}$)との間を變動してゐると結論した。A. Westgren¹⁰⁾は、格子組織の決定に基いて、炭化物の Fe_3W_6C 式を最

¹⁰⁾ Hultgren, A.: A. Metallographie Study on Tungsten Steels. New York 1920.

¹¹⁾ 前掲脚註参照 ¹²⁾ 同

も確實なものと考へ、武田博士¹¹⁾も矢張り本式を、分析データに依つて、確定してゐる。

こゝに實施せる研究の諸結果は、炭化物の理想組成、即ち、 Fe_3W_6C に相當するものを推定することに依つても、最も良く解明できる。真空内に於ける最も烈しい鐵蒸發は、この化合物に相當する濃度範囲内で、行はれる。事實この組成では、 W_6C に變はる際に、炭素の吸收が行はれるのである。

フェロ・タングステンにおける酸素定量

フェロ・タングステンの鐵蒸發に關して得られた結果により、酸素の定量に際して現れる著しい蒸發——これに依つて酸素定量法の諸結果が著しく害はれる——を如何にせば避け得らるゝかが分る。 Fe_3W_6C の加炭に際して遊離する鐵が十分の炭素を結合して、遊離鐵として蒸發し得ざるためには、フェロ・タングステン試料は、炭素の多い脱ガス鐵湯溜中に投入されるを要する。フェロ・タングステンは、如何なる場合でも、空坩堝中に投入されるよりろしくない。から云ふことは、第 1 表及び第 2 表に報告された諸結果を見れば分ることなのである。更にこの事實を裏付けしてゐるものは、第 15 表にあげられて居る實驗 1 乃至 3 の諸結果であるが、これに於ては、脱ガスされた空坩堝中に、各種の量のフェロ・タングステン

第 15 表 フェロ・タングステンの存在に於ける試験試料中の酸素定量¹⁾

番号	鐵湯溜重量	フェロ・タングステン 82.5% W	0.023% O ₂ 含有試験試料	附着物			
				g	O ₂ %	1	2
1	0	7.98	0.012	0.011	0.018	—	—
2	0	10.0	n.b.	0.009	0.016	—	—
3	0	21.8	0.015	0.010	0.016	—	—
4	10	10.3	0.010	0.020	0.019	—	—
5	10	20.4	0.014	0.021	0.020	—	—
6	25	10.6	0.008	0.012	0.014	0.020	—
7	25	10.6	0.008	0.023	0.021	—	—
8	25	20.0	0.012	0.022	0.021	—	—
9	50	11.4	0.013	0.024	0.023	—	—
10	50	20.4	0.016	0.023	0.022	—	—
11	70	30.0	n.b.	0.020	0.021	0.020	—
12	70	30.0	n.b.	0.020	0.021	0.020	—
13	0	10.0	0.013	0.024	0.024	—	—
14	0	15.0	0.010	0.019	0.021	—	—
15	0	30.0	0.009	0.019	0.018	0.023	—
16	70	30.0	n.b.	0.022	0.022	0.023	0.022
17	70	30.0	"	0.022	0.022	0.023	0.022

¹⁾ 實驗 1~12 は、直接水冷、實驗 13~17 は、銅製蛇管冷却が投入され、分析され、そのち更に、0.023% O₂ 含有標準試料が定量された。このときに認められた著しい金屬の附着物は、標準試料に測定された酸素量が、その標準試料の眞の酸素量の約 50% 以下であることの原因である。第 1 試料の投入後に於ては、附着物はガスの吸收に依つて外見上部分的に飽和されてゐる。第 2 試験試料は、もつと高い値を示す。鐵の湯溜を利用することは、酸素定量の測定値に對して、如何に良好なる作用を及ぼすかは、第 15 表の實驗 4~12 の示すところである。湯溜重量は、10g から 70g まで變へられ、このために試験試料投入以前に、10g, 20g 或は 30g のフェロ・タングステンが投入され、脱ガスされた。試験試料に測定された酸素量は、湯溜重量が 50g まで増加するに伴ひ、増加することが、實驗結果から分る。フェロ・タングステン 30g で、鐵湯溜

70gなる割合のときでも、測定値は、さして眞の値以下になることはない。高溫度抽出法に依つて得られた酸素含有量の測定値の増加は、フェロ・タングステン試料による鐵湯溜の重量の増加に伴つても、認められる。然し、この報告は、フェロ・タングステン中の酸素含有量不均一にして、試料の採取不完全なるため、餘り確實性がない。

特に金屬附着物の影響の研究を本旨とするこれまでの實驗は盡く、石英管の冷却を直接流水で行ふと云つた裝置を用ひて行はれたが、第15表の實驗13~17は、水を貯留せる銅製蛇管に依る比較的緩かな冷却を用ひて、行はれた。本實驗に於ては、附着物が著しく形成されたに拘らず、酸素測定量は、湯溜が使用されざるときですらも、直接水冷を用ひたときより、著しく高い(例:第15表の實驗2及び18参照)。かう云ふ事實から間違なく推論ることは、フェロ・タングステン中の酸素定量には、冷却のため銅製蛇管を用ふる方が、直接水冷よりもよいと云ふことである。

高溫度抽出法に從つて測定せられた酸素量に及ぼす冷却の著しい影響は、マンガン附着物形成のときでも、見出された²⁾更にR.Paulus¹¹⁾の研究に依つて、細く分布されたマンガンに見出される一酸化炭素は、高度真空中に於ける約900°の溫度で、大部分再度放出されることが確證された。更に、酸素定量のときに存する溫度及び壓力状態に於けるマンガン附着物の一酸化炭素の吸收は吸着的に行はれるに非ずして、むしろ化學反應(炭素の分離下に於けるマンガンの酸化)に依つて行はれ、一酸化炭素の再放出の基準となるものは、反應 $Mn + CO \rightleftharpoons Mn + C$ (若くは炭化物) の酸化還元平衡であることが示された。マンガン附着物からの一酸化炭素の再放出の實驗に依つて、高マンガン含有試料に於ても、高溫度抽出法に依つて全酸素含有量を完全に定量しうる方法が示された。

全然これと同様な酸化及び還元作用は、蒸氣の狀態からの凝結に依つて得られた活動性鐵に於て、現れることは、現今の認識に依つて推定される。

これまで述べた實驗法、フェロ・タングステンの湯溜中への投入及び石英管冷却のための銅製蛇管の利用に依つて、以上示された如く、鐵の蒸發は著しく減ぜられ、その結果として、フェロ・タング

²⁾ 前掲脚註参照。

¹¹⁾ Mitt. K. Wilh. Inst. Eisenforschg. 17 (1935) S. 207/11; Arch. Eisenhüttenw. 9 (1935/36) S. 435/39 (Chem. Aussch. 112).

ステン中に於ける全酸素含有量の半分のない定量が、高溫度抽出法に依つて、行ひうることとなつた。

總 括

フェロ・タングステンの存在に於ける酸素含有量既知なる試験試料の酸素定量に際し、著しい金屬の蒸發が認められ、これが酸素量低下の原因と見做された。金屬附着物の化學的實驗に依つて、フェロ・タングステンを黒鉛坩堝中で熔解するときには、純鐵は、或る程度蒸發するが、これと同じことは、普通利用された炭素の多い鐵融液に於ては、認められない。同時に鐵蒸發とともに、坩堝内にある融液は、著しく加炭される。

用ひられたフェロ・タングステンの組成は、鐵蒸發の程度に特別な影響がある。タングステン含有量高く、炭素含有量低き合金は、特に著しい鐵蒸發を示す。

組成相異なるフェロ・タングステン試料の鐵蒸發前後に於けるX線粉末寫真に依れば、蒸發する純鐵は、鐵-タングステン複炭化物に基くもので、この鐵-タングステン複炭化物は、炭素の吸收に依つて、W₂C 及び遊離鐵に變へられることが分つた。この鐵は、この粘りある融液に於て坩堝壁から徐々に擴散する炭素に依つて結合されざる以前に、烈しく蒸發するためには、選擇された溫度及び壓力條件に於ては、十分に高い蒸氣壓を有するのである。炭素の侵入が阻止されるときには(云はゞ、酸化ベリリウム坩堝に於ける熔解のときの如く)，鐵-タングステン複炭化物の分解は、行はれないから、フェロ・タングステンからの鐵蒸發も行はれない。炭素坩堝熔解のときでも、粉末フェロ・タングステンと煤とが良く混和されることに依り、炭素の擴散道が小さくされ、複炭化物の分解に依つて遊離する鐵の加炭が事前に現はれるために溫度は徐々にこれを上げれば、鐵の蒸發は著しく抑壓される。

得られた實驗結果に依つてフェロ・タングステンに現れる複炭化物相の Fe_xW_yC 式に相當する組成が確證される。本組成に於ては炭素の吸收に依つて、鐵及び W₂C への分解が明かであるからである。フェロ・タングステン試料を高炭素鐵湯溜中へ投入することに依る鐵蒸發の減少は、正しい酸素定量に重要である。

冷却の影響に特に注意を要する。この實驗に於ても、流水に依つて特に烈しく冷却するときには、金屬附着物は、銅製蛇管を用ひて、軽く冷却するときよりも烈しい影響を、酸素の定量に及ぼすことが分つた。